

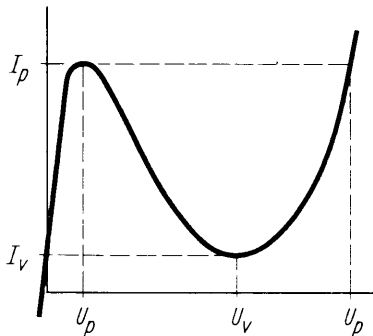
Vorläufige technische Daten

Meßwerte

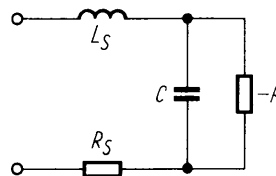
bei Umgebungstemperatur	$t_{amb} = 25^{\circ}\text{C}$		
Höckerstrom	I_p	1	mA
Höckerspannung	U_p	55	mV
Talstrom	I_v	0,15	mA
Talspannung	U_v	300	mV
Höckerstrom/Talstrom	I_p/I_v	6,5	
Negativer Widerstand	$-R$	100	Ω
Kapazität im Talpunkt	C	10	pF
Serien Induktivität	L_S	5	nH
Serien Widerstand	R_S	1	Ω

Grenzwerte

Sperrschichttemperatur	t_j	100	$^{\circ}\text{C}$
Verlustleistung	P_d	20	mW
bei $t_{amb} = 45^{\circ}\text{C}$ und Betrieb in ruhender Luft			



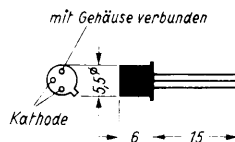
Ersatzschaltung für
negativen Bereich
der Kennlinie



$$\text{Grenzfrequenz} = \frac{1}{2 \cdot \pi \cdot C \cdot | -R |} \cdot \left| \frac{-R}{R_S} - 1 \right| = 1,6 \cdot 10^9 \text{ Hz}$$

$$\text{Eigenresonanz} = \frac{1}{2 \cdot \pi} \cdot \sqrt{\frac{1}{L_S \cdot C} - \left(\frac{1}{| -R | \cdot C} \right)^2} = 0,7 \cdot 10^9 \text{ Hz}$$

max. Abmessungen



Gewicht: max. 1 g

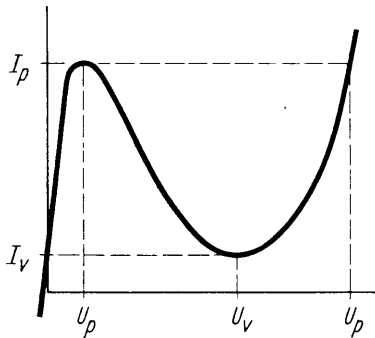
Vorläufige technische Daten

Meßwerte

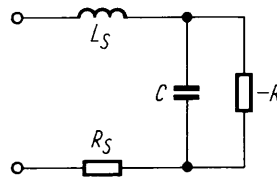
bei Umgebungstemperatur	$t_{amb} = 25^{\circ}\text{C}$		
Höckerstrom	I_p	1	mA
Höckerspannung	U_p	55	mV
Talstrom	I_v	0,15	mA
Talspannung	U_v	300	mV
Höckerstrom/Talstrom	I_p/I_v	6,5	
Negativer Widerstand	$-R$	100	Ω
Kapazität im Talpunkt	C	10	pF
Serien Induktivität	L_S	0,5	nH
Serien Widerstand	R_S	1	Ω

Grenzwerte

Sperrschichttemperatur	t_j	100	$^{\circ}\text{C}$
Verlustleistung	P_d	20	mW
bei $t_{amb} = 45^{\circ}\text{C}$ und Betrieb in ruhender Luft			



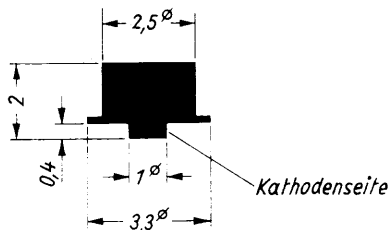
Ersatzschaltung für
negativen Bereich
der Kennlinie



$$\text{Grenzfrequenz} = \frac{1}{2 \cdot \pi \cdot C \cdot | -R |} \cdot \sqrt{| -R | - R_S} - 1 = 1,6 \cdot 10^9 \text{ Hz}$$

$$\text{Eigenresonanz} = \frac{1}{2 \cdot \pi} \cdot \sqrt{\frac{1}{L_S \cdot C} - (| -R | \cdot C)^2} = 2,25 \cdot 10^9 \text{ Hz}$$

max. Abmessungen



5:1